



Ciências
ULisboa

Modelação Numérica

Aula 19

+Transferência de calor

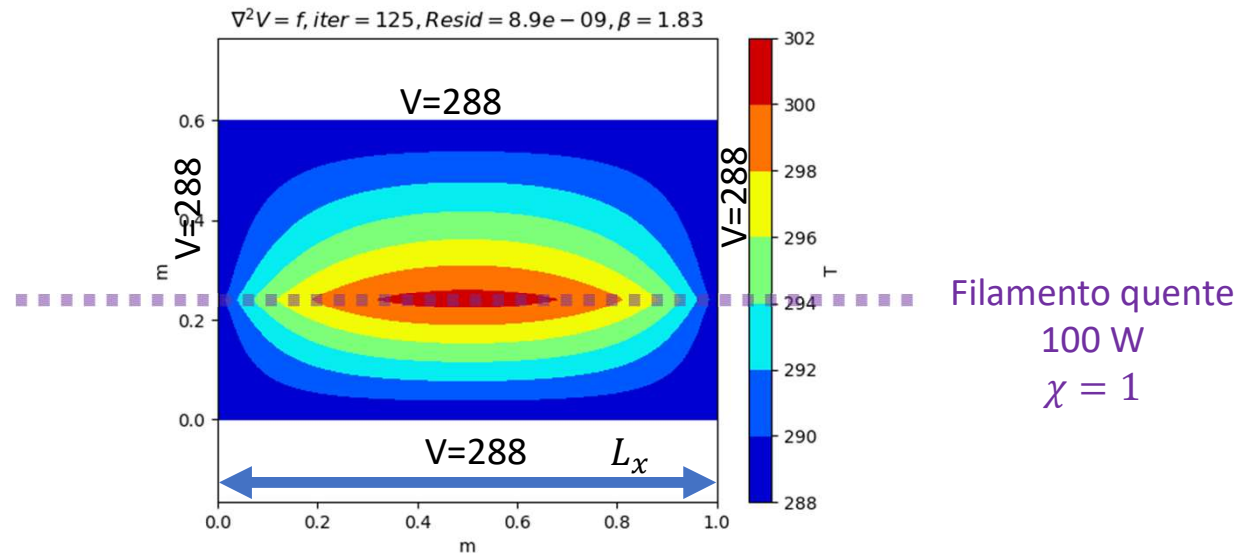
poisson.py v2 com condições fronteira opcionais (von Neumann)

```
def poisson(f,V0,X,Y,maxiter,maxres,\  #posicionais (obrigatórias)
            beta0=0.,BxL=[],BxH=[],ByL=[],ByH=[],movie='',passo=1):      #kwargs
    [M,N]=f.shape; #determina a dimensão das matrizes
    ...
    V=V0 #inicializa a matriz solução
    iter=0; resid=2*maxres
    while resid>maxres and iter<maxiter: #iterações
        iter=iter+1;resid=0; vmax=0
        for i in range(1,M-1):
            for j in range(1,N-1):
                R=V[i,j-1]+V[i,j+1]+V[i-1,j]+V[i+1,j]-4*V[i,j]-delta**2*f[i,j]
                V[i,j]=V[i,j]+beta*R/4;
                resid=max(resid,abs(R))
        if len(BxL)!=0: #caso contrário: Dirichlet, mantem V
            V[0,:]=V[1,:]+BxL*dx #BxL=(dT/dn) em x=0 (n normal à parede)
        if len(BxH)!=0:
            V[M-1,:]=V[M-2,:]+BxH*dx #BxH=(dT/dn) em x=Lx
        if len(ByL)!=0:
            V[:,0]=V[:,1]+ByL*dy
        if len(ByH)!=0:
            V[:,N-1]=V[:,N-2]+ByH*dy
        vmax=np.max(np.abs(V)); resid=resid/vmax #residuo relative
    return V,iter,resid,beta
```

Introduzindo fontes de calor (internas)

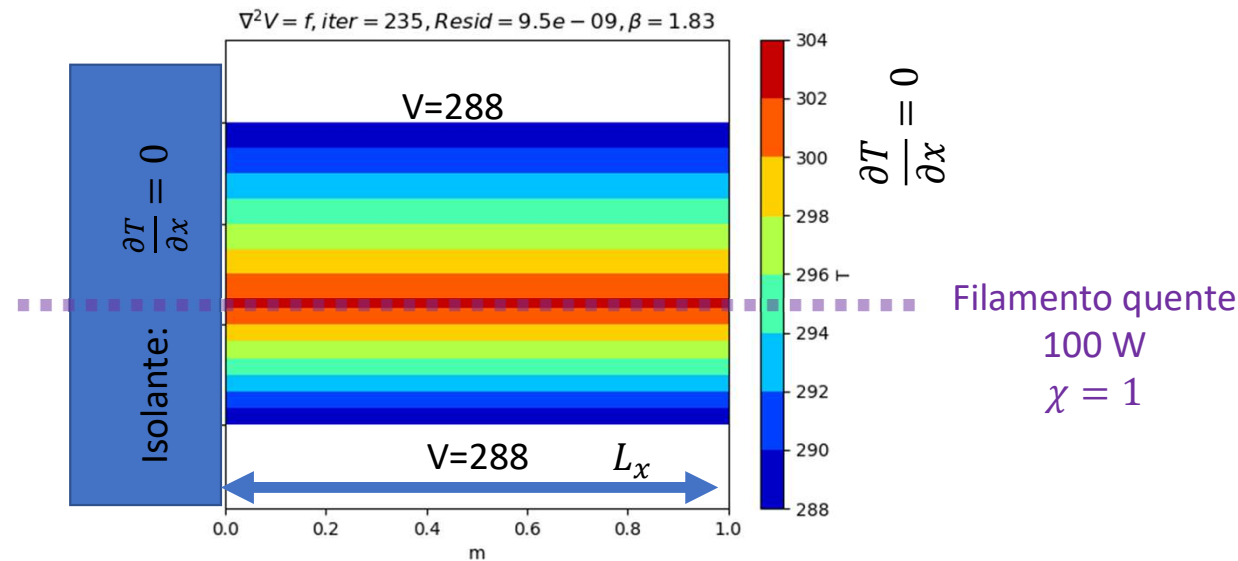
```
f=np.zeros( (M,N) )
for k in range(0,M):
    f[k,12]=-100/(Lx*delta)
[V,niter,res,beta]=poisson(f,V0,X,Y,maxiter,maxres)
```

$$\nabla^2 T = -\frac{1}{\chi} \dot{q}_V$$



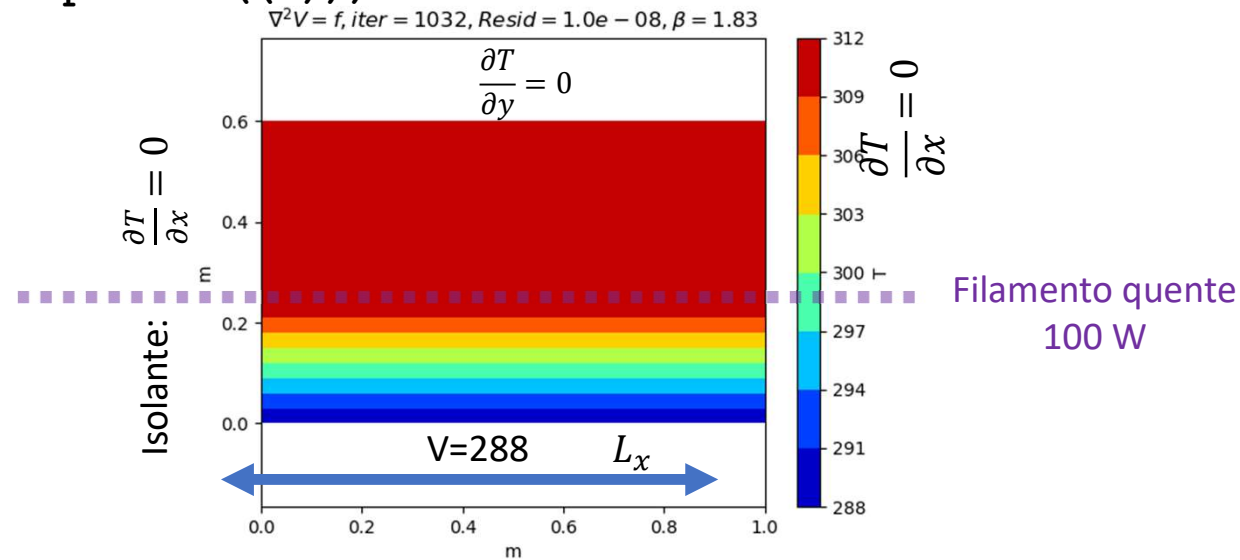
Mesmo, forçamento, outras condições fronteira

```
f=np.zeros( (M,N) )
for k in range(0,M):
    f[k,12]=-100/(Lx*delta)
[v,niter,res,beta]=poisson(f,V0,X,Y,maxiter,maxres,BxL=np.zeros( (N) ),BxH=np.zeros( (N) ))
```

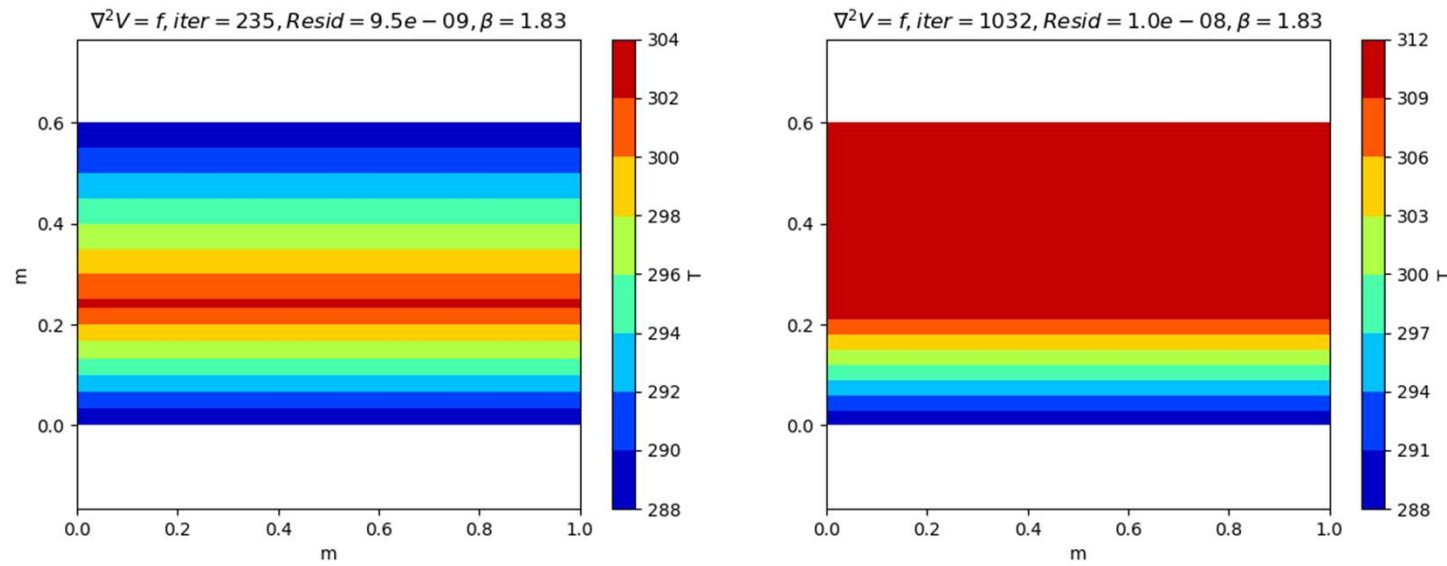


Mesmo, forçamento, outras condições fronteira

```
f=np.zeros( (M,N) )
for k in range(0,M):
    f[k,12]=-100/(Lx*delta)
[v,niter,res,beta]=poisson(f,V0,X,Y,maxiter,maxres,BxL=np.zeros( (N) ),BxH=np.zeros( (N) ),ByH=np.zeros( (M) ))
```



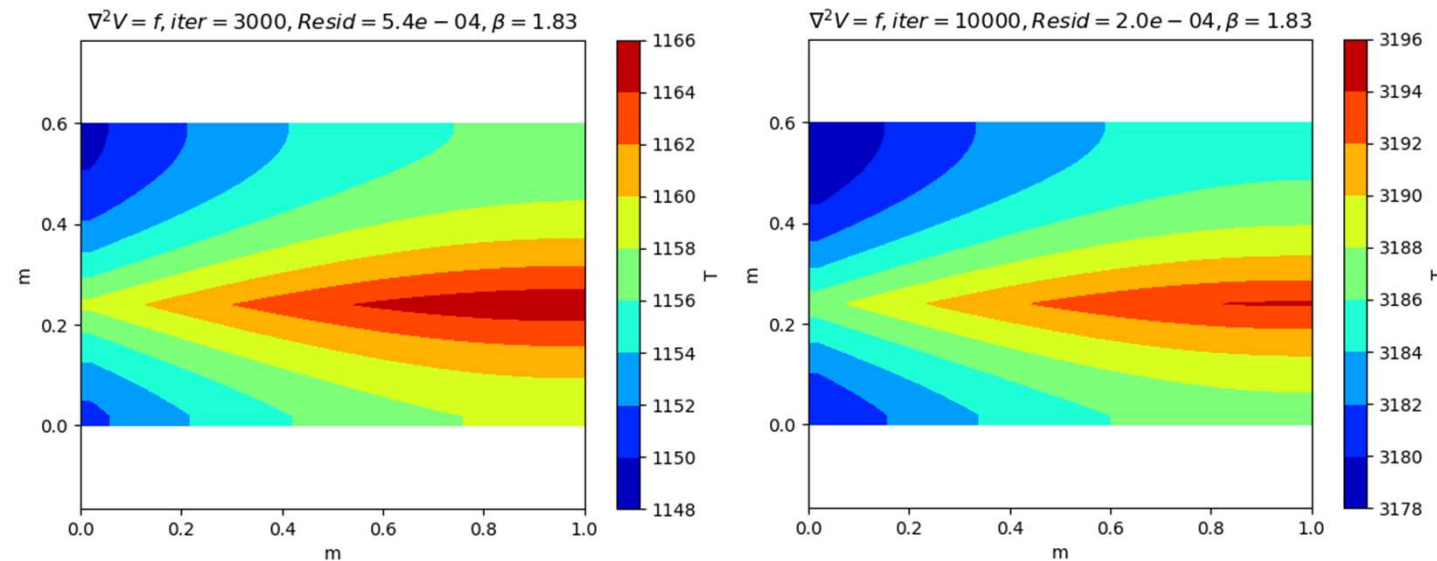
Porque fica mais quente quando isolado
 $y=L_y$?



Porque todo o calor fornecido (100W) tem que ser conduzido através da fronteira $y=0$
(é preciso o dobro do gradiente $\vec{q} = -\kappa \nabla T$)

```
[V,niter,res,beta]=poisson(f,V0,X,Y,maxiter,maxres,BxL=n
p.zeros( (N) ),BxH=np.zeros( (N) ),ByH=np.zeros( (M) ),ByL=np.
zeros( (M) ))
```

Não converge: a temperatura subiria sempre porque todas as paredes são não condutoras. A assimetria resulta da ordem de varrimento...



Condução em corpos heterogéneos (κ variável)

$$-\nabla \cdot (-\chi \nabla T) = -\dot{q}_v$$

Caso 2D: \dot{q}_s em Wm^{-2}

$$-\frac{\partial}{\partial x} \left(-\chi \frac{\partial T}{\partial x} \right) - \frac{\partial}{\partial y} \left(-\chi \frac{\partial T}{\partial y} \right) = -\dot{q}_s$$

Numa malha discreta (idêntico para y), em **diferenças centradas**:

$$-\frac{\partial}{\partial x} \left(-\chi \frac{\partial T}{\partial x} \right) \approx 1/\Delta x \left(\chi_{i+1/2} \frac{T_{i+1} - T_i}{\Delta x} - \chi_{i-1/2} \frac{T_i - T_{i-1}}{\Delta x} \right)$$

Com

$$\chi_{i+1/2} = \frac{\chi_i + \chi_{i+1}}{2}, \chi_{j-1/2} = \frac{\chi_{i-1} + \chi_i}{2}$$

$$\begin{aligned}
& \frac{1}{\Delta x} \left(\chi_{i+\frac{1}{2},j} \frac{T_{i+1,j} - T_{i,j}}{\Delta x} - \chi_{i-\frac{1}{2},j} \frac{T_{i,j} - T_{i-1,j}}{\Delta x} \right) \\
& + \frac{1}{\Delta y} \left(\chi_{i,j+\frac{1}{2}} \frac{T_{i,j+1} - T_{i,j}}{\Delta y} - \chi_{i,j-\frac{1}{2}} \frac{T_{i,j} - T_{i,j-1}}{\Delta y} \right) + f_{i,j} = R_{i,j} \\
& \frac{1}{\Delta x^2} \left(\chi_{i+\frac{1}{2},j} T_{i+1,j} - \chi_{i+\frac{1}{2},j} T_{i,j} - \chi_{i-\frac{1}{2},j} T_{i,j} + \chi_{i-\frac{1}{2},j} T_{i-1,j} \right) \\
& + \frac{1}{\Delta y^2} \left(\chi_{i,j+\frac{1}{2}} T_{i,j+1} - \chi_{i,j+\frac{1}{2}} T_{i,j} - \chi_{i,j-\frac{1}{2}} T_{i,j} + \chi_{i,j-\frac{1}{2}} T_{i,j-1} \right) + f_{i,j} \\
& = R_{i,j}
\end{aligned}$$

Sobre-relaxação simultânea

$$\begin{aligned} & \frac{\chi_{i-\frac{1}{2},j}}{\Delta x^2} T_{i-1,j} + \frac{\chi_{i+\frac{1}{2},j}}{\Delta x^2} T_{i+1,j} x + \frac{\chi_{i,j-\frac{1}{2}}}{\Delta y^2} T_{i,j-1} + \frac{\chi_{i,j+\frac{1}{2}}}{\Delta y^2} T_{i,j+1} \\ & - \left(\frac{\chi_{i-\frac{1}{2},j}}{\Delta x^2} + \frac{\chi_{i+\frac{1}{2},j}}{\Delta x^2} + \frac{\chi_{i,j-\frac{1}{2}}}{\Delta y^2} + \frac{\chi_{i,j+\frac{1}{2}}}{\Delta y^2} \right) T_{i,j} + f_{i,j} = R_{i,j} \\ T_{i,j}^{novo} &= T_{i,j} + \beta \left(\frac{\chi_{i-\frac{1}{2},j}}{\Delta x^2} + \frac{\chi_{i+\frac{1}{2},j}}{\Delta x^2} + \frac{\chi_{i,j-\frac{1}{2}}}{\Delta y^2} + \frac{\chi_{i,j+\frac{1}{2}}}{\Delta y^2} \right)^{-1} R_{j,k} \end{aligned}$$

$$\chi \text{ variável: } -\nabla \cdot (-\chi \nabla T) = -\dot{q}_V$$

```

def poissonT(f,v0,chi,X,Y,maxiter,maxres,\n
             beta0=0.,BxL=[],BxH=[],ByL=[],ByH=[]):\n
    ...\n
    v=v0\n
    chix=np.zeros((M,N))\n
    chiy=np.zeros((M,N))\n
    for i in range(1,M):\n
        for j in range(N):\n            chix[i,j]=0.5*(chi[i,j]+chi[i-1,j])\n    for i in range(M):\n        for j in range(1,N):\n            chiy[i,j]=0.5*(chi[i,j]+chi[i,j-1])\n    chix=chix/dx**2\n    chiy=chiy/dy**2

```

relaxação

$$T_{i,j}^{novo} = T_{i,j} + \beta \left(\frac{\chi_{i-\frac{1}{2},j}}{\Delta x^2} + \frac{\chi_{i+\frac{1}{2},j}}{\Delta x^2} + \frac{\chi_{i,j-\frac{1}{2}}}{\Delta y^2} + \frac{\chi_{i,j+\frac{1}{2}}}{\Delta y^2} \right)^{-1} R_{j,k}$$

```
itera=0
resid=2*maxres #garante a primeira iteração
pngs=[]
while resid>maxres and itera<maxiter: #iterações
    itera=itera+1
    resid=0; vmax=0
    for i in range(1,M-1):
        for j in range(1,N-1):
            chi4=(chix[i,j]+chix[i+1,j]\
                  +chiy[i,j]+chiy[i,j+1])
            R=chiy[i,j]*V[i,j-1]+ chiy[i,j+1]*V[i,j+1]+\ 
              chix[i,j]*V[i-1,j]+chix[i+1,j]*V[i+1,j]\
              -chi4*V[i,j]-f[i,j]
            V[i,j]=V[i,j]+beta*R/chi4;
            resid=max(resid,abs(R))
```

Condições fronteira (de von Neumann)

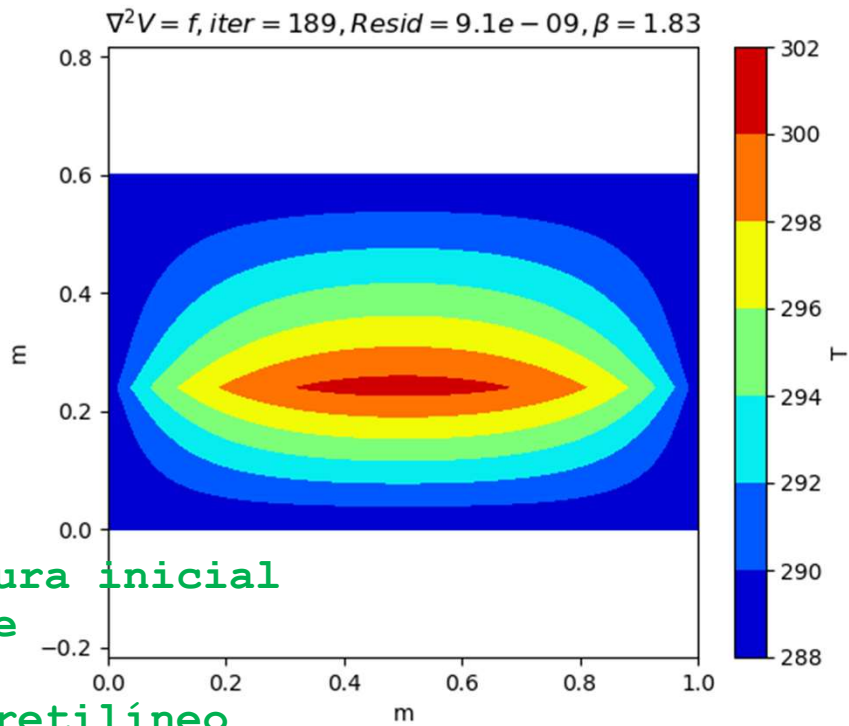
(notar que as derivadas são perpendiculares à fronteira de dentro para fora)

```
#Neumann X (caso contrário, mantém V fixo na fronteira)
if len(BxL) !=0:
    V[0,:] = V[1,:]+BxL*dx
if len(BxH) !=0:
    V[M-1,:] = V[M-2,:]+BxH*dx
#Neumann y (caso contrário, mantém V fixo na fronteira)
if len(ByL) !=0:
    V[:,0] = V[:,1]+ByL*dy
if len(ByH) !=0:
    V[:,N-1] = V[:,N-2]+ByH*dy

vmax=np.max(np.abs(V))
resid=resid/vmax #residuo relativo
```

teste

```
v0=288.*np.ones((M,N)) #temperatura inicial
chi=np.ones((M,N)) #condutividade
f=np.zeros((M,N))
for k in range(0,M): #filamento retilíneo
    f[k,12]=-100/(Lx*delta)
BxH=np.zeros((N))
ByH=-np.ones((M))*10
ByL=np.zeros((M))
[V,niter,res,beta]=poissonT(f,v0,chi,X,Y,maxiter,maxres)
```



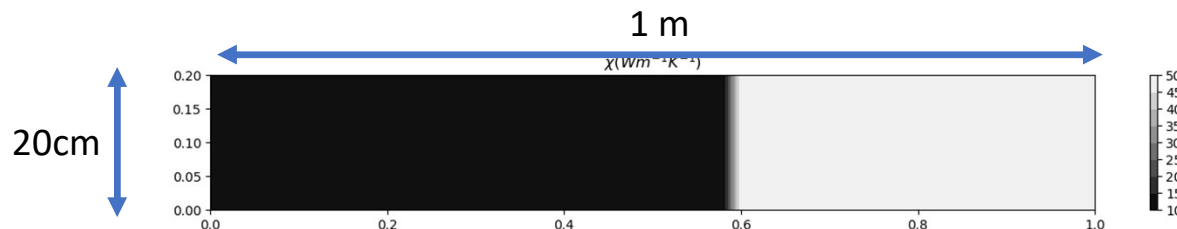
Notas

No caso em que $\chi = \text{const}$ a nova função dá os resultados obtidos anteriormente.

No entanto agora $f = -\dot{q}_S$, e no caso anterior era $f = -\frac{\dot{q}_S}{\chi}$.

Condução de calor através de uma parede heterogénea

```
v0=273.*np.ones( (M,N) ) #potencial inicial e cf em y=Ly  
v0[:,0]=300 #condição fronteira em y=0  
chi=np.ones( (M,N) )*50 #condutividade  
chi[0:30,:]=10 #condutividade  
f=np.zeros( (M,N) ) #não há fontes de calor internas  
[T,niter,res,beta]=poissonT(f,V0,chi,X,Y,maxiter,maxres,\  
    BxL=np.zeros( (N) ),BxH=np.zeros( (N) ))
```



Fluxos de calor em cada fronteira

